

КАЗАНЦЕВ Е.И., ГИНКУЛ С.И. (ДОНГТУ)

## К ВОПРОСУ ОПТИМИЗАЦИИ РЕЖИМОВ РАБОТЫ ПРОМЫШЛЕННЫХ ПЕЧЕЙ

*На основании решения оптимизационных задач с затребованными технологическими ограничениями (на максимально и минимально возможные значения параметров и заданными критериями оптимальности) разработаны математические модели, позволяющие рассчитать температурный и тепловой режимы печи во времени, обеспечивающий нагрев металла по выбранным критериям оптимальности.*

Решения основного дифференциального уравнения теплопроводности, выполненные немецким обществом инженеров-металлургов при некоторых краевых условиях были представлены в безразмерном виде и табулированы. Позднее на этой основе были построены графики, которые используются и до настоящего времени.

Широкое распространение в последнее десятилетие получили электронно-вычислительные машины и особенно в последние годы ЭВМ типа РС, которые дали возможность использовать численные методы решения дифференциальных уравнений практически при любых краевых условиях.

Все это в настоящее время надо считать уже пройденным этапом и все температурные и тепловые режимы промышленных печей необходимо рассчитывать только на условиях оптимизации или, в крайнем случае, субоптимизации. С нашей точки зрения все эти решения относятся к разряду «ноу-хау» и в настоящих, рыночных условиях, должны быть защищены опционными соглашениями.

Оптимизация работы промышленных печей должна быть различной для печей непрерывного и печей периодического действия. Дальше, она будет отличаться для новой печи, старой или реконструируемой существующей печи.

Здесь и дальше мы говорим о промышленных печах и о нагреве изделий в них. Охлаждение тел с математической точки зрения представляет ту же самую задачу только с обратным знаком. Поэтому дальше мы говорим только о нагреве, подразумевая, что все сказанное может быть соответствующим образом использовано и для охлаждения тел.

Для каждого из обозначенных ниже случаев могут разбираться различные варианты оптимизации с определенными признаками и/или ограничениями.

Оптимизация работы печи должна производиться по различным условиям, так, например.

а) Оптимизация может выполняться с учетом затрат на: топливо; угар металла; расход энергии на дальнейшую обработку материала (прокатку, ковку и пр.); фиксированное обезуглероживание и окалинообразование; желание получить высокое качество нагрева металла по условиям технологии перед его обработкой (давлением, термической и др.); интегральному показателю, например, по показателю минимума общей стоимости нагрева и др.

б) Субоптимизация работы печи по какому-либо частному показателю: минимуму окалинообразования; наиточнейший нагрев — с наперед заданными отклонениями температур  $\Delta t$  от заданной температуры в сторону «+» или «-», с одним или несколькими экстремальными значениями в промежутке по толщине; наискорейший нагрев (с максимальной производительностью), общий или в отрезках времени или в температурном интервале; с фиксированным или наименьшим расходом топлива, связанным с зоной печи или периодом нагрева; с наилучшим качеством нагрева поверхности изделия, например, с окисленным и удаленным обезуглероженым слоем; с постоянным разрежением (тягой), создаваемым дымовой трубой  $h_{тp6} = const$  и т.п.

в) На решение задач по оптимизации могут быть потребованы различные ограничения: по максимальному расходу топлива; по минимальному расходу топлива; по максимальной тепловой мощности; по минимальной тепловой мощности; по максимальному расходу продуктов сгорания, удаляемых из рабочего пространства печи; по длине рабочего пространства печи (отапливаемой); по наивысшей температуре всей печи или в определенной зоне и т.д. и т.п.

Эти показатели будут иметь существенное влияние на конечный результат, который будет также различен для печей периодического или непрерывного действия (прямоточных или противоточных), с устройствами утилизации тепла отходящих продуктов горения или без таковых. Кроме того, существенное влияние на конечный результат будут иметь: потери тепла рабочим пространством печи, подогрев газа и воздуха, коэффициент расхода воздуха, подсос холодного воздуха, выбивание пламени, стойкость огнеупорной кладки, изоляция отдельных элементов, коэффициент использования тепла топлива (КИТ) и проч. С точки зрения работы печи, наиболее существенным является фактор минимума стоимости нагрева. Эта задача может быть решена точно только для конкретно взятой печи.

Как показывают выполненные нами решения задач о ходе изменения температуры (режима работы) печи, в зависимости от поставленных условий нагрева изделий, оно может быть совершенно различным. В одних случаях это понижение температуры печи по ходу нагрева, в других, наоборот — повышение, в третьих — это повышения и понижения с различными скоростями и ускорениями. Все определяют конкретные, заданные условия — цели, задачи, ограничения и прочее.

Для решения вопроса минимизации стоимости нагрева необходимо иметь все конкретные показатели работы печи, данные ее конструкции, необходимые начальные и конечные условия для нагреваемого материала и др. Решение такой задачи может быть выдано в виде комплекса программ группой программистов (15–20 человек) во главе с постановщиком и руководителем примерно за год-полтора работы, т.е. необходимо 20–30 человеко-лет.

Существуют различные методы оптимизации [1], в одних из них используется строгий подход к рассматриваемой задаче, но они получаются сложными и трудными в реализации. Другие методы позволяют решать более упрощенные задачи, но их легче реализовать и получаемые результаты приемлемы для практических целей (задач). Таким методом является метод линейного программирования (симплекс-метод) [2]. Применение симплекс-метода предполагает, что задача будет линейной.

Дифференциальное уравнение, описывающее перенос тепла в одномерных телах, можно записать в виде:

$$c\rho \frac{\partial t}{\partial \tau} = \lambda \left( \frac{\partial^2 t}{\partial r^2} + \frac{v}{r} \frac{\partial t}{\partial r} \right), \quad (1)$$

с начальными и граничными условиями:

$$t(r, 0) = t_0 = const; \quad (2)$$

$$-\lambda \frac{\partial t}{\partial r} \Big|_{r=0} = 0;$$

$$-\lambda \frac{\partial t}{\partial r} \Big|_{r=r_0} = \alpha(U - t), \quad (3)$$

где  $v$  — коэффициент формы тела ( $v=0$  — плита;  $v=1$  — цилиндр;  $v=2$  — шар).

Теплофизические коэффициенты  $c$ ,  $\rho$ ,  $\lambda$  и коэффициент теплоотдачи  $\alpha$  принимаем постоянными в первом приближении.

Уравнения (1), (2), (3) решались по неявным схемам методом прогонки [7], тело разбивалось на  $n$  сечений, а все время на  $m$  интервалов.

Управляющей функцией является температура среды и, чтобы применить симплекс-метод, необходимо выразить все переменные через управляющую функцию. Для линейной задачи применяется метод определения температуры тела с использованием коэффициентов влияния [10].

Для внешней и внутренней линейности уравнений (1)–(3) температура тела в  $i$ -ом сечении в  $j$ -й момент времени от действия на каждом интервале времени температуры среды  $U_s$  определяется по следующей формуле:

$$t_i^j = \sum_{s=1}^j a_{si}^j \cdot U_s.$$

Коэффициент  $a_{si}^j$  определяется по следующей методике. Примем, что на первом интервале времени температура среды  $U_1=1$ , а на остальных равняется 0. Определим коэффициенты влияния:

$$a_{1i}^1, a_{1i}^2, a_{1i}^3, \dots, a_{1i}^m.$$

Аналогично для остальных интервалов времени. Тогда температура тела на первом интервале времени:

$$t_i^1 = a_{1i}^1 \cdot U_1.$$

На втором интервале времени:

$$t_i^2 = a_{1i}^2 \cdot U_1 + a_{2i}^2 \cdot U_2.$$

Для  $m$ -го интервала времени:

$$t_i^m = a_{1i}^m \cdot U_1 + a_{2i}^m \cdot U_2 + \dots + a_{mi}^m \cdot U_m.$$

Рассмотрим некоторые конкретные случаи ограничения и/или оптимизации по отдельным показателям.

### **Заданное качество нагрева — оптимальный температурный режим**

Нагрев металла это вспомогательная операция при прокатке, термообработке и проч. Основной задачей нагревательных печей является обеспечение прокатного стана или других агрегатов качественно нагретым металлом при высоких экономических показателях [3].

Требования, предъявляемые к качеству нагрева металла, различны. В одних случаях — это обеспечение заданного перепада температур между поверхностью и серединой заготовки. В других — это обеспечение наиточнейшего нагрева, т.е. необходимо за заданное время нагреть металл таким образом, чтобы получить как можно меньше перепад температуры по сечению относительно заданного значения и проч. Такая задача может быть поставлена, например, при термической обработке, чтобы получить прокаливаемость стали на определенную глубину.

Задача наиточнейшего нагрева металла может быть сформулирована следующим образом: требуется за заданное время  $\tau$  нагреть тело до заданной температуры таким образом, чтобы максимальное отклонение температур по сечению тела относительно заданной температуры  $t^*$ , было минимально возможным (рис. 2). С точки зрения технологии, такие требования могут быть выдвинуты при термообработке, прокатке и др.

$$z = \min \max y_i; \quad y_i = |t_i - t_i^*|, \quad (4)$$

при следующих ограничениях:

$$U_j \leq [U_j]; t_j \leq [t_j]; \Delta t \leq [\Delta t] \quad (5)$$

здесь  $i$  — номер сечения тела;  $j$  — номер момента времени  $\tau$ ;  $[U_j]$ ,  $[t_j]$ ,  $[\Delta t]$  — соответственно максимально допустимые значения температуры среды, поверхности и перепада температур по сечению тела в процессе нагрева;  $t_i$  — температура в  $i$ -ом сечении тела через время  $\tau$ ;  $U_j$  — температура среды на  $j$ -ом интервале времени;  $t_j$  — температура поверхности на  $j$ -ом интервале времени;  $\Delta t$  — перепад температур между заданными сечениями.

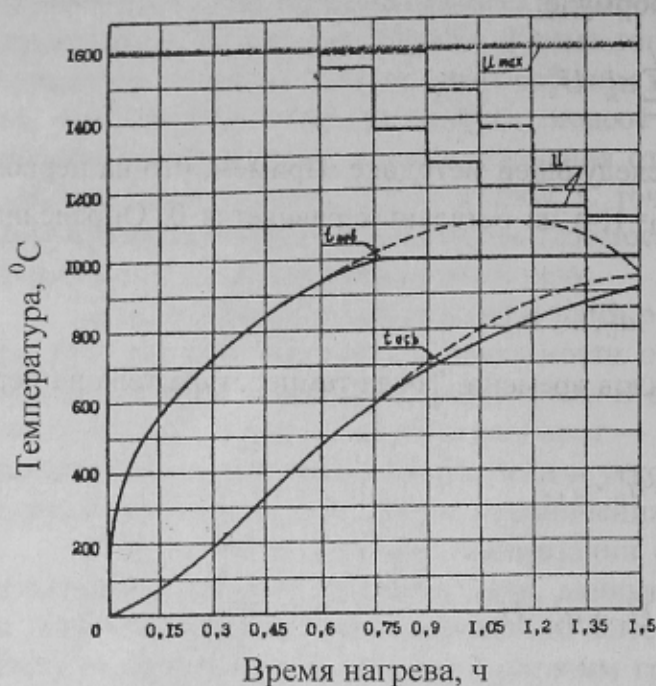


Рис. 1. Режим нагрева плиты с заданными параметрами при различных ограничениях на температуру поверхности

В качестве примера рассмотрим нагрев плиты толщиной  $\delta=0,4$  м с теплофизическими свойствами  $c=0,543$  кДж/кг·К;  $\rho=7700$  кг/м<sup>3</sup>;  $\lambda=35$  Вт/м·К;  $\alpha=262$  Вт/м<sup>2</sup>·К. Максимально допустимая температура среды  $[U]=1600^\circ\text{C}$ . Необходимо осуществление равномерного нагрева по сечению плиты относительно заданной температуры  $t^*=960^\circ\text{C}$  за заданное время  $\tau$  при различных ограничениях.

На рис. 1 приведены результаты расчета оптимального режима при ограничениях на температуру поверхности  $t_{n1} \leq 1000^\circ\text{C}$  и  $t_{n2} \leq 1100^\circ\text{C}$ . В начальный период температура среды выдерживается максимальной до тех пор, пока это не вызовет ограничения на температуру поверхности. Затем температура среды понижается.

При достижении на поверхности  $t_{n1}=1000^\circ\text{C}$  она остается постоянной до конца нагрева. Максимальное отклонение по сечению от заданной температуры достигается в конечный момент времени на оси ( $\Delta t_1=98^\circ\text{C}$ ) (рис. 2). Снижение температуры поверхности происходит в том случае, если перепад температур в процессе нагрева между поверхностью и заданной температурой составляет большую величину, чем перепад между температурой поверхности и оси к концу нагрева, а по ходу нагрева температура оси приближается к заданной.

Совсем по другому изменяется температура поверхности при ограничении  $t_{n2} \leq 1100^\circ\text{C}$ . Когда температура поверхности становится равной  $t_{n2}=1100^\circ\text{C}$ , она выдерживается постоянной непродолжительное время, а затем понижается для получения ми-

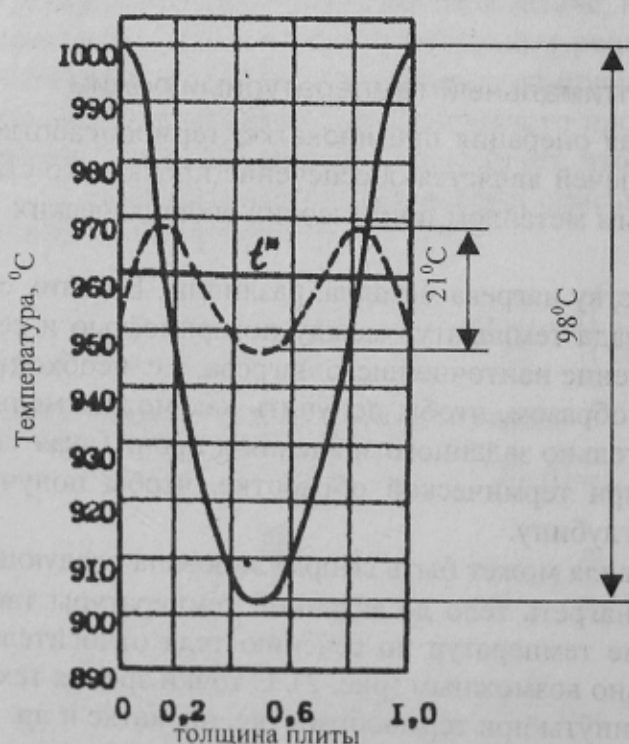


Рис. 2. Распределение температуры по сечению пластины в конце времени нагрева при различных ограничениях на температуру поверхности

нимального отклонения температуры по сечению тела от заданной (рис. 1)  $960^{\circ}\text{C}$  и отклоняется в пределах  $+8^{\circ}\text{C}$  и  $-13^{\circ}\text{C}$ .

В этом случае перегрев температуры поверхности по ходу нагрева оказался более существенным. Это дало возможность за счет большего градиента температуры в процессе нагрева по сечению тела за то же время нагрева получить более равномерный нагрев тела, чем при ограничении температуры поверхности величиной  $1000^{\circ}\text{C}$ . Наибольшее отклонение полученной температуры от заданной составляет  $13^{\circ}\text{C}$  (рис. 2). В технологическом отношении это может оказаться более привлекательным и весьма существенно повлиять на показатели качества конечного продукта, например, при термообработке.

### Ограничение перепада температур по сечению тела в течение всего нагрева

На рис. 3 приведен нагрев той же плиты при ограничениях, например, из-за возникновения нежелательных температурных напряжений, на перепад температур внутри тела по ходу нагрева  $[\Delta t]=200^{\circ}\text{C}$  и температуру поверхности  $t_n \leq 1100^{\circ}\text{C}$ . Исходя из этих ограничений, получим такую температуру среды, при которой в течение всего периода нагрева выдерживается перепад температур  $\Delta t \leq 200^{\circ}\text{C}$ . Конечное распределение температур сильно отличается от предыдущего. В данном случае тепловой режим печи таков, что за назначенное время  $\tau=1,5$  ч требуемое качество нагрева не получено, поэтому необходимо увеличить время нагрева или менять тепловой режим работы печи. Задача может решаться и для заданного интервала температур.

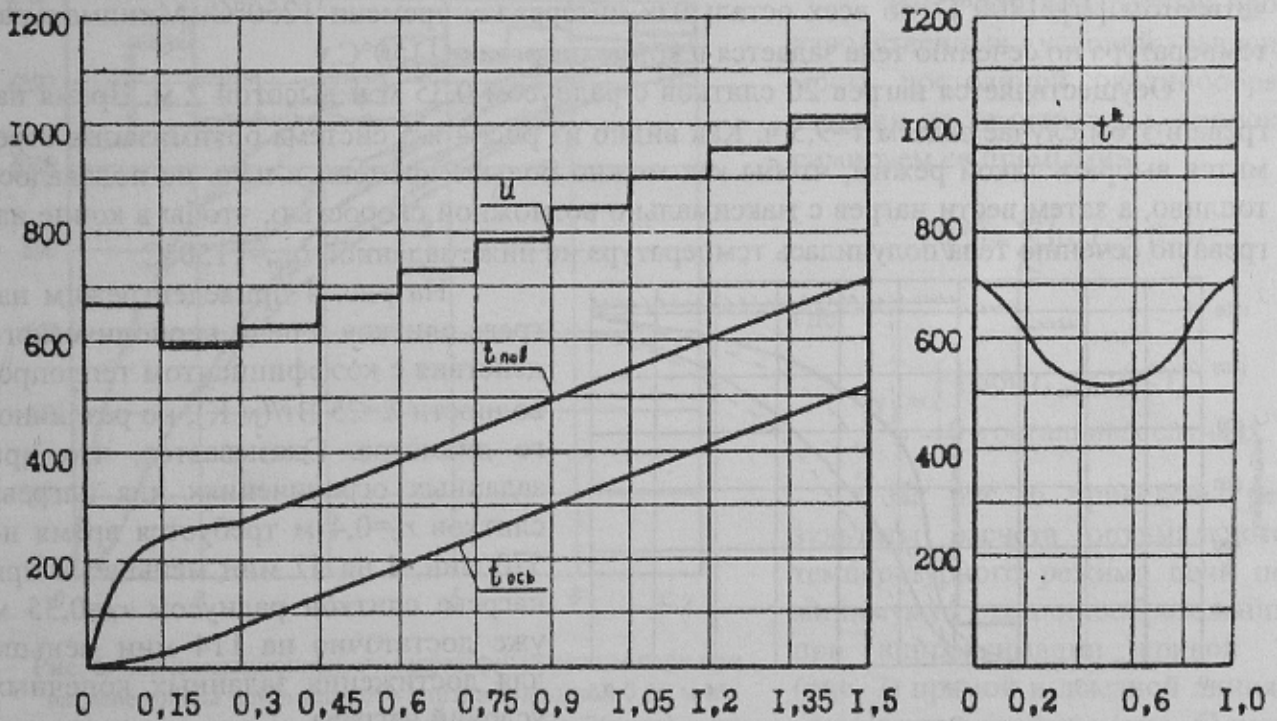


Рис. 3. Расчет оптимального режима нагрева при ограничениях на  $t_{\text{пов}} \leq 1100^{\circ}\text{C}$  и  $\Delta t \leq 200^{\circ}\text{C}$

### Оптимизация по минимуму расхода топлива

В современных условиях дефицита энергоносителей и сырых материалов особые требования предъявляются к созданию энерго- и ресурсосберегающих технологий производства. Разработка режимов таких технологий предусматривает использование методов оптимизации для получения и выбора наилучших параметров производства и получения наилучших конечных результатов.

Металлургическая промышленность является весьма энергоемкой, технологические процессы и операции в ней совершаются в основном при высоких температурах. В нынешних условиях обеспечение максимальной производительности агрегатов и устройств уходят на второй план. Главными являются проблемы энергосбережения и экономии сырья и материалов и основная задача нагрев металла по минимуму расхода топлива.

При нагреве металла по минимуму расхода топлива функция цели запишется:

$$B = \sum_{j=1}^m V_m^j \Delta\tau \rightarrow \min, \quad (6)$$

где  $V_m^j$  — расход топлива на  $j$ -ом интервале времени,  $\text{м}^3/\text{с}$ ;  $\Delta\tau$  — длительность  $j$ -го интервала времени, с;  $B$  — расход топлива за весь процесс нагрева,  $\text{м}^3/\text{нагрев}$ ;

Систему ограничений (5) необходимо дополнить еще неравенством. Она будет иметь вид:

$$U_j \leq [U_j]; t_j \leq [t_j]; \Delta t \leq [\Delta t]; t_{i\min}^* \leq t_i, \quad (7)$$

где  $t_{i\min}^*$  — минимально допустимая температура в  $i$ -ом сечении тела через время  $\tau_k$ , т.е. в конце нагрева,  $^{\circ}\text{C}$ .

Рассмотрим конкретный пример расчета температурного режима нагревательного устройства периодического действия по минимуму расхода топлива — максимально допустимая температура печи, например, принималась в данном случае равной: в первом интервале времени  $[U]=1000^{\circ}\text{C}$ , во втором  $[U]=1100^{\circ}\text{C}$ , в третьем  $[U]=1150^{\circ}\text{C}$ , в четвертом  $[U]=1200^{\circ}\text{C}$ , во всех остальных интервалах времени  $1250^{\circ}\text{C}$ . Минимальная температура по сечению тела задается в конце нагрева  $t=1150^{\circ}\text{C}$ .

Осуществляется нагрев 20 слитков с радиусом 0,35 м и высотой 2 м. Время нагрева в этом случае задаем  $\tau=9,5$  ч. Как видно из рис. 4 и 5 система оптимизации стремится выбрать такой режим, чтобы как можно больше времени в печь не подавалось топливо, а затем вести нагрев с максимально возможной скоростью, чтобы в конце нагрева по сечению тела получилась температура не ниже заданной  $t_{\min}=1150^{\circ}\text{C}$ .

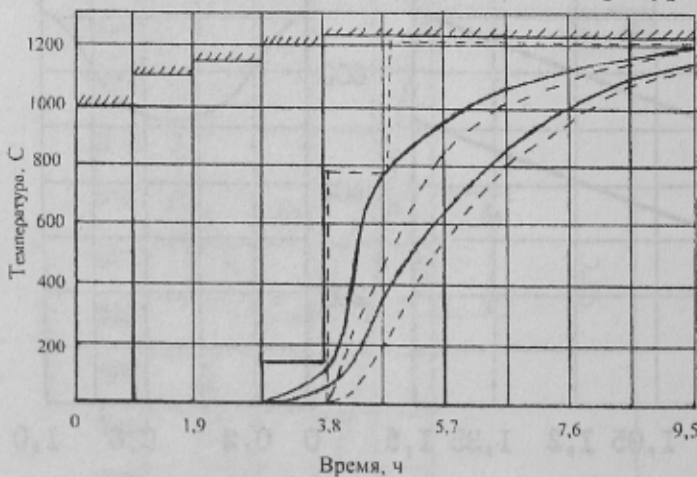


Рис. 4. Режим нагрева слитков с  $B_m=\min$  при  $r_0=0,35$  м (---) и 0,4 м (—) в печи периодического действия

коэффициента теплопроводности с  $\lambda=25$  Вт/(м·К) (рис. 4) до  $\lambda=35$  Вт/(м·К) (рис. 5) привело к уменьшению времени нагрева с 456 мин. до 400 мин. При коэффициенте теплопроводности  $\lambda=45$  Вт/(м·К) время нагрева составило 342 мин. Увеличение коэффициента теплопроводности приводит к более быстрому прогреву металла и за счет этого к уменьшению потерь тепла с мощностью холостого хода печи.

На рис. 4 приведен режим нагрева слитков в печи периодического действия с коэффициентом теплопроводности  $\lambda=25$  Вт/(м·К), но различного диаметра. Оказывается, что при заданных ограничениях для нагрева слитков  $r_0=0,4$  м требуется время не 570 мин, а на 57 мин меньше; и при нагреве слитков радиусом  $r_0=0,35$  м уже достаточно на 114 мин меньше для достижения заданных конечных условий нагрева.

На рис. 5 приведен режим нагрева слитков  $r_0=0,35$  м, но с более высоким коэффициентом теплопроводности  $\lambda=35$  Вт/(м·К). Увеличение коэф-

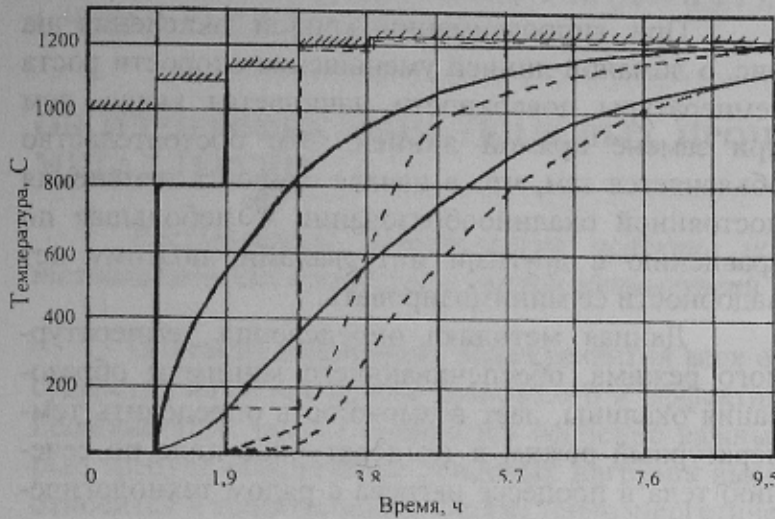


Рис. 5. Режим оптимального нагрева слитков (—)  $\lambda=25$  Вт/м·К и (---)  $\lambda=35$  Вт/м·К

$$S^2 = \sum_{j=1}^m f(t_n^j) \Delta\tau. \quad (8)$$

где  $S$  — толщина окалины, мм;  $t_n$  — температура поверхности, °C;  $m$  — число шагов по времени.

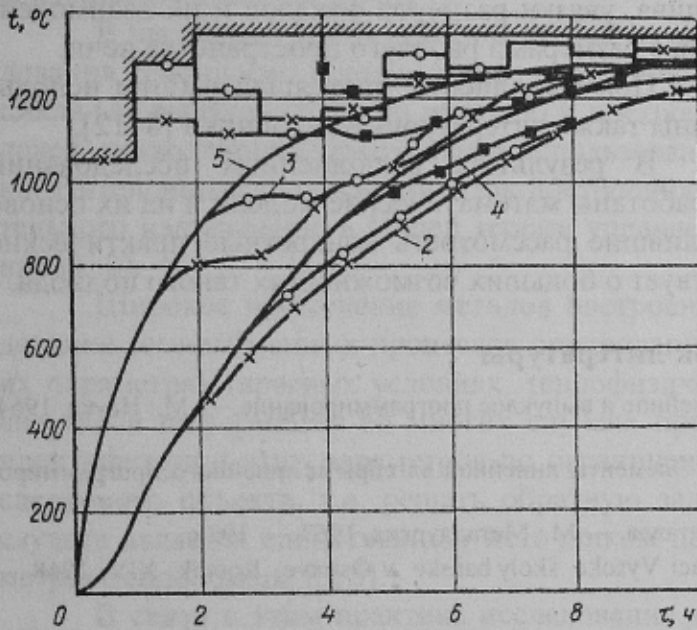


Рис. 6. Оптимизационный температурный режим печи при нагреве плиты или листового слитка толщиной 0,59 м из стали 40 по минимуму образования окалины. 2(x—x) — по минимуму образования окалины при интенсивном окалинообразовании выше 800°C; 3(o—o) — выше 950°C; 4(•••) — выше 1100°C; 5(—) — по критерию наилучшего нагрева

аппроксимации кривой 1 (рис. 7) прямыми линиями: будем считать, что интенсивное окалинообразование а) начинается с 800°C (прямая 2) и б) с 1100°C (прямая 4). Как видно из рис. 6 при замене кривой 1 (рис. 6) прямыми линиями (2 и 4) вырабатывается такой режим нагрева, при котором металл выдерживается некоторое время вблизи температуры начала интенсивного окалинообразования (800 и 1100°C). Так продолжается до

### Оптимизация по минимуму окалинообразования

При нагреве металла, особенно дорогостоящего, важной задачей является уменьшение потерь от угара [4-6], т.е. актуальной является необходимость разработки такого режима нагрева, который может обеспечить минимальное окалинообразование металла.

Нагрев металла по минимуму окалинообразования можно выполнить при технологических ограничениях, описываемых системой (7), а функция цели выразится уравнением:

Имея для конкретных производственных условий зависимость постоянной окалинообразования от температуры, аппроксимируем ее прямыми:

$$f(t_n^j) = \sum_{\ell=1}^p (\alpha_{\ell} t_n^j + \beta_{\ell}) \gamma_{\ell},$$

где:

$$\gamma_{\ell} = \begin{cases} 1 & \text{при } t_{\ell-1} < t_n^j \leq t_{\ell} \\ 0 & \text{в остальных случаях} \end{cases}$$

На рис. 6 приведены результаты расчета оптимального температурного режима печи по минимуму окалинообразования при аппроксимации кривой 1 (рис. 7) прямой и ломаной линиями. На этом графике (рис. 6) также приведен температурный режим, обеспечивающий наилучший нагрев металла.

Рассмотрим два случая ап-

тех пор, пока не вступают в действие условия обеспечения заданного качества нагрева за заданное время.

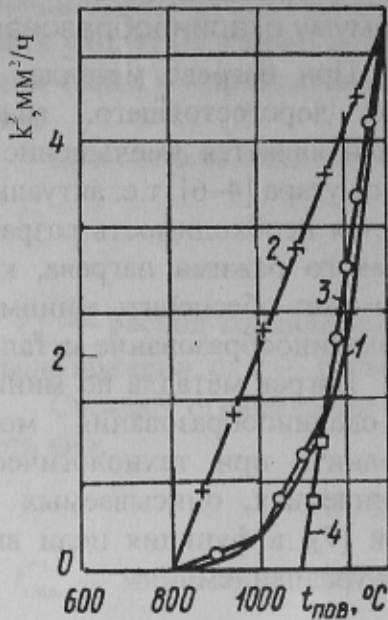


Рис. 7. Зависимость квадрата постоянной окисления  $k^2$  (1) от температуры поверхности при нагреве малоуглеродистых сталей в печной атмосфере: 2 (x—x), 4 (□—□) — аппроксимация кривой (1) (—) прямой линией (2) в случае интенсивного окисления с  $800^\circ\text{C}$  и (4) — с  $1100^\circ\text{C}$ ; 3 (o—o) — аппроксимация кривой (1) ломаной линией

При аппроксимации кривой окисления на рис. 6 ломаной линией уменьшение скорости роста температуры поверхности начинается выше, чем при замене прямой линией. Это обстоятельство объясняется тем, что в начале скорость изменения постоянной окисления  $k^2$  небольшая по сравнению с другими интервалами, поэтому нет надобности ее минимизировать.

Данная методика определения температурного режима, обеспечивающего минимум образования окалины, дает возможность определить температурный режим и температурное поле по сечению тела в процессе нагрева с рядом технологических ограничений.

На основании температурных режимов нагрева изделий по известным методикам рассчитываются тепловые режимы работы печи и необходимые для их выполнения графики подачи топлива в рабочее пространство печи. Естественно, что до этого выполняются расчеты горения топлива и соответствующие разработки организации сжигания топлива, увязки размеров факелов и их взаимодействия с размерами рабочего пространства печи.

При выполнении настоящей работы использованы также литературные источники [8–12].

В результате выполненных исследований разработаны математические модели и на их основе

созданы некоторые программы, позволившие рассмотреть конкретные практические случаи. Анализ результатов свидетельствует о больших возможностях такого подхода.

### Список литературы

1. Зуховицкий С.И., Авдеева Л.И. Линейное и выпуклое программирование. — М.: Наука, 1964. — 348 с.
2. Карпелевич Ф.И., Садовский Л.Е. Элементы линейной алгебры и линейного программирования. — М.: Физматгиздат, 1963.
3. Малый С.А. Экономичный нагрев металла. — М.: Metallургия, 1967. — 192 с.
4. Kazancev E.I. Sbornik vedecky'ch prací Vysoke školy baňske v Ostrave, Ročník XIV, 1968. — číslo 7, rada hutnicka. — S. 161–177.
5. Казанцев Е.И. Промышленные печи. — М.: Metallургия, 1975. — 368 с.
6. Kazancev E.I. Sbornik vedecky'ch prací Vysoke školy baňske v Ostrave, Ročník XIV, 1968. — číslo 7, rada hutnicka. — S. 179–180.
7. Самарский А.А. Введение в теорию разностных схем. — М.: Наука, 1971. — 552 с.
8. Казанцев Е.И., Котляревский Е.М., Баженов А.В. и др. Энергосберегающая технология нагрева слитков. — М.: Metallургия, 1992. — 176 с.
9. Бровкин Л.А. Температурные поля тел при нагреве и плавлении в промышленных печах. — Иваново, 1973. — 366 с.
10. Выпов Г.П., Гинкул С.И., Казанцев Е.И. // Изв. ВУЗов. Черная металлургия, 1975. — № 5. — С. 173–178.
11. Ольшанский В.М., Гузов Л.А., Тайц Н.Ю., Минаев А.Н. // Metallургическая и горнорудная промышленность, 1970. — № 3. — С. 47–50; 1971. — № 3. — С. 45–47.
12. Рябков В.М. // Изв. ВУЗов. Черная металлургия, 1973. — № 8. — С. 142–144.